

## 网络流算法详解

网络流算法在许多实际问题中有应用，如匹配问题，著名的 Hall 婚姻定理。这里不证明“最大流最小割定理”，简单解释求最大流的 Ford-Fulkerson 算法。接下来分别详述时间复杂度为  $O(VE^2)$  的 Edmonds-Karp 算法和时间复杂度为  $O(V^2E)$  的 Dinic 算法。至于较新的预留推进算法就不介绍了，这个算法证明比较难，感兴趣的可以看看算法导论。

本文所用到的网络流如图 1， $s$  为原点， $t$  为汇点，边上的值表示边的容量  $c(u,v)$ ，如  $c(s,v_1)=15$ ， $c(v_1,v_2)=8$ 。流用符号  $f(u,v)$  表示，如图 2，流的容量  $f(s,v_1)=10$ ， $f(v_1,v_2)=5$ 。剩余容量  $c_f(u,v)=c(u,v)-f(u,v)$ 。在原剩余网络中找到一条流后，修改原网络边的剩余容量得到剩余网络  $G_f$ ，如图 3 所示。注意剩余网络中有一些新添加的边即反向边的容量，为流的反馈。在图 3 中，有  $f(v_1,v_2)=5$ ，那么有  $f(v_2,v_1)=-f(v_1,v_2)=-5$ ，然后  $c_f(v_2,v_1)=c(v_2,v_1)-f(v_2,v_1)=0-(-5)=5$ 。

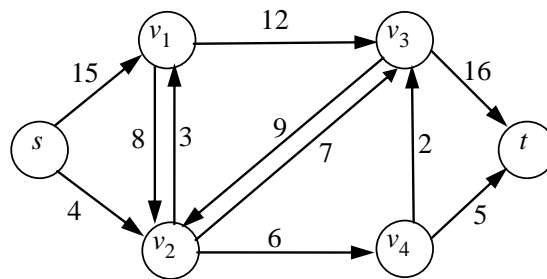


图 1 网络流的一个例子

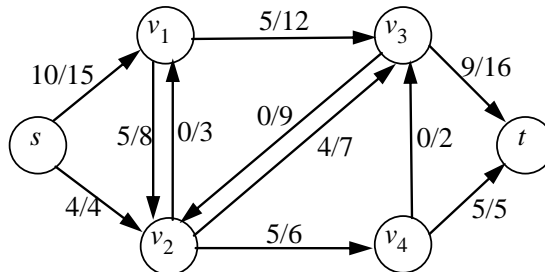


图 2 图 1 的一条流  $f$

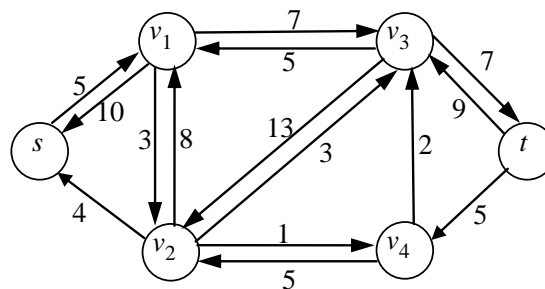


图 3 有图 2 产生的剩余网络  $G_f$

### 1. Ford-Fulkerson 算法

算法的主要思想：

1) 初始化一条容量为 0 的流  $f$  和一个剩余网络  $G_f$ ，第一个剩余网络为原图  $G$ ，每条边的剩余容量初始化为每条边的初始容量  $c_f(u,v)=c(u,v)$ 。

2) 在剩余网络  $G_f$  中寻找增广路径  $p$ ，取增广路径  $p$  中的边的剩余容量  $c_f(u,v)$  最小值作为流的增量  $\Delta f$ ，使得  $f'=f+\Delta f$ 。修改剩余图中每条边的容量  $c_{f'}(u,v)=c_f(u,v)-\Delta f$  得到剩余网络  $G_{f'}$ 。（补充说明：原算法中的  $\Delta f$  可以为单位 1）

3) 重复步骤 2)，直到找不到一条增广路径为止。

寻找一条增广路径的方法如图 4 所示，然后确定增广路径上的流增量  $\Delta f$ 。本例中  $\Delta f=3$ 。

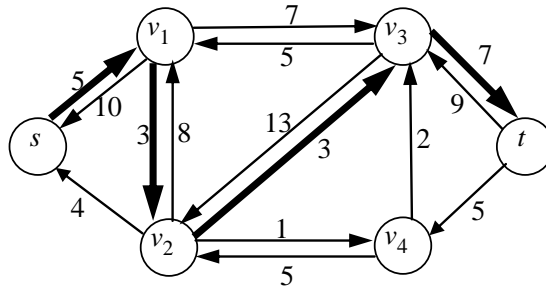


图 4 在图 3 的剩余图中寻找一条增广路径  $P$

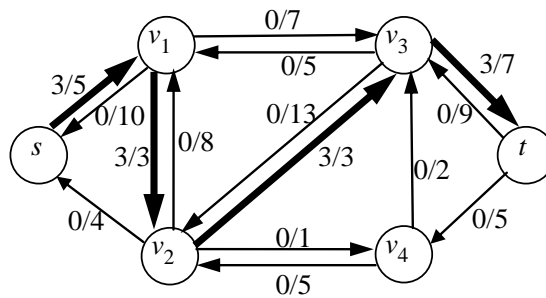
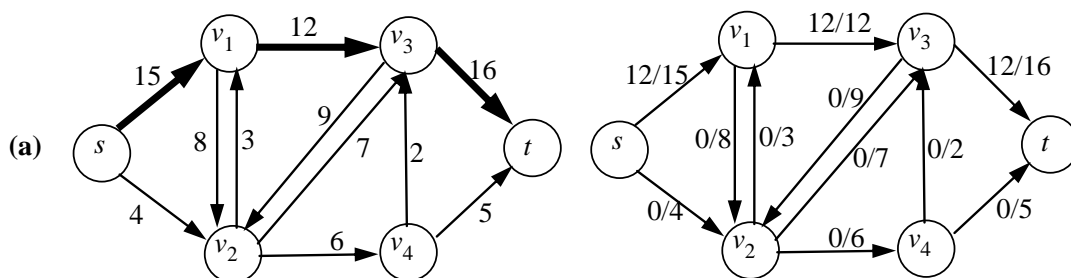
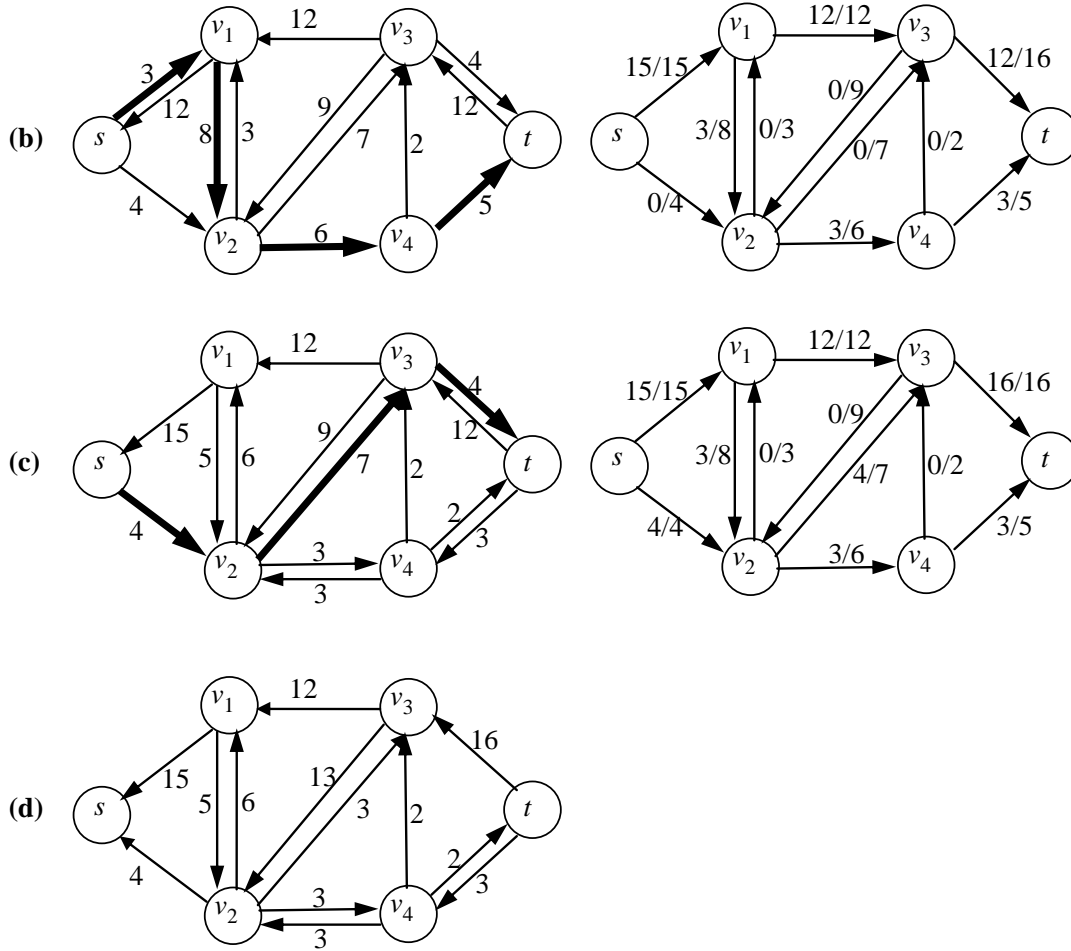


图 5 确定图 4 中增广路径  $P$  的流增量  $\Delta f$

整个网络可以用邻接表或矩阵表示，网络的边即为矩阵中的元素，网络的节点则为矩阵一维的下标。这里网络中每条边最好用一个结构体表示。结构体包含边的容量和每次通过的流量这两个变量。

下面是一个例子：





Ford-Fulkerson 算法的伪代码如下：

**Ford-Fulkerson**( $G, s, t$ )

```

1   for each edge  $(u, v) \in E[G]$       //初始化每条边的流量为 0
2   {    $f[u, v] \leftarrow 0$ 
3        $f[v, u] \leftarrow 0$ 
4   }
5    $G_f \leftarrow G$                   //初始化剩余网络  $G_f$  为原网络  $G$ ，这里不需要代码
6   while there exists a path  $p$  from  $s$  to  $t$  in the network  $G_f$  //网络中还存在增广路径，仍然进行迭代
7   { search a path  $p$  from network  $G_f$       //Karp 算法采用广度优先，Dinic 算法采用深度优先
8        $c_f(p) \leftarrow \text{Min}\{ c_f(u, v) \mid (u, v) \text{ is in } p \}$  //确定增广路径上的流量增量  $\Delta f(p) = c_f(p)$ 
9       for each edge  $(u, v)$  in  $p$ 
10      {    $f[u, v] \leftarrow f[u, v] + c_f(p)$       //增加剩余网络中增广路径上每条边的流量
11           $f[v, u] \leftarrow -f[u, v]$               //显然该路径上反方向上的容量为负
12           $c_f[u, v] \leftarrow c[u, v] - f[u, v]$     //计算剩余网络  $G_f$  中的每条边的容量
13           $c_f[v, u] \leftarrow c[v, u] - f[v, u]$ 
14      }
15  }
```

## 2. Edmonds-Karp 算法

Edmonds-Karp 算法与 Ford-Fulkerson 算法的区别在于在 Ford-Fulkerson 算法的第 7 行，Edmonds-Karp 算法采用广度优先算法（BFS）寻找一条从  $s$  到  $t$  最短增广路径  $p$  代替 Ford-Fulkerson 的随机寻找一条从  $s$  到  $t$  增广路径  $p$ 。

引理 1: 在网络  $G=\langle V,E \rangle$  中, 原点为  $s$ , 汇点为  $t$ 。Edmonds-Karp 算法中, 对于任意顶点  $v \in V - \{s, t\}$ , 在剩余网络  $G_f$  中的距离  $\delta_f(s, v)$  和  $\delta_f(v, t)$  随着流的增加而单调递增。(每次增加两个单位, 这里要用到 BFS 生成最短路径的性质, 由于这次的增广路径在剩余网络中已经是最短路径了, 在新的剩余网络中, 通过  $(s, v)$  的最短路径要增加。证明略)

引理 2: 流增加的总次数不超过  $O(VE)$ 。

证明 (1): 若在剩余图  $G_f$  中的边  $(u, v)$  满足  $c(u, v) = c_f(u, v)$ , 边  $(u, v)$  是一条关键边。每次进行增广路径扩充后, 关键边  $(u, v)$  不会在该次的剩余网络  $G_f$  中出现。每次扩充至少会有一条关键边。可以证明网络中的每条边称为关键边至多  $|V|/2 - 1$  次。所以流增加的总次数为  $O(VE)$ 。

证明 (2): 当边  $(u, v)$  在上一次剩余网络  $G_f$  中第一次称为关键边时, 有  $\delta_f(s, v) = \delta_f(s, u) + 1$  成立。然后边  $(u, v)$  将不会在该次剩余网络  $G_f$  中, 边  $(u, v)$  下一次出现在某个剩余网络中的时候有, 肯定有流通过边  $(v, u)$ 。假设当这种情况发生时, 有网络  $G_{f'}$  的流为  $f'$ , 我们有:

其中由引理 1:  $\delta_{f'}(s, v) \geq \delta_f(s, v)$ , 有

$$\delta_{f'}(s, u) = \delta_{f'}(s, v) + 1 \geq \delta_f(s, v) + 1 = \delta_f(s, u) + 2$$

所以从  $s$  到  $u$  的路径中, 当其中的一条边称两次为关键边的时候,  $s$  到  $u$  的距离增加 2 个单位。 $s$  到  $v$  的距离最长为  $n-1$ , 那么  $s$  到  $u$  的最长距离为  $n-2$ 。所以边  $(u, v)$  能成为关键边的次数最多为  $n/2 - 1$  次。所以流增加的总次数为  $O(VE)$ 。

Edmonds-Karp 算法的时间复杂度:  $O(VE^2)$

由引理 2 可知, 流增加的总次数不超过  $O(VE)$ , 又每次扩充增广路径的时间复杂度为  $O(E)$ , 故 Edmonds-Karp 算法的时间复杂度为  $O(VE^2)$ 。

### 3. Dinic 算法

Dinic 算法要用到层次图的数据结构, 即 MSN (Multi-Stage Network)。MSN 可由每次计算得到的剩余网络  $G_f$  再计算得到。

定义 1:  $k$ -阶图,  $k$ -stage 图 (或网络)  $G = (V, E)$  是一个有向图,  $G$  的顶点集合被分成  $(k+1) \geq 2$  个不相交的集合  $V_i$ ,  $0 \leq i \leq k$ 。如果有边  $(u, v) \in E$ , 则有  $u \in V_i$  和  $v \in V_{i+1}$ , 对某个  $i \in [0, k-1]$  成立。 $V_0 = s$ ,  $V_k = t$ 。 $k$ -阶图和  $k$ -阶图中的一条阻塞流如下图所示。图中 6 产生了一条阻塞流表示在该图上从原点  $s$  到汇点  $t$  再不可能增加新的流了。

定义 2: 饱和边, 如果边  $(u, v)$  满足  $f(u, v) = c(u, v)$ 。

定义 3: 流  $f$  称为网络  $G$  的阻塞流, 当且仅当从  $s$  到  $t$  的任何一条路径中都包含一条饱和边。

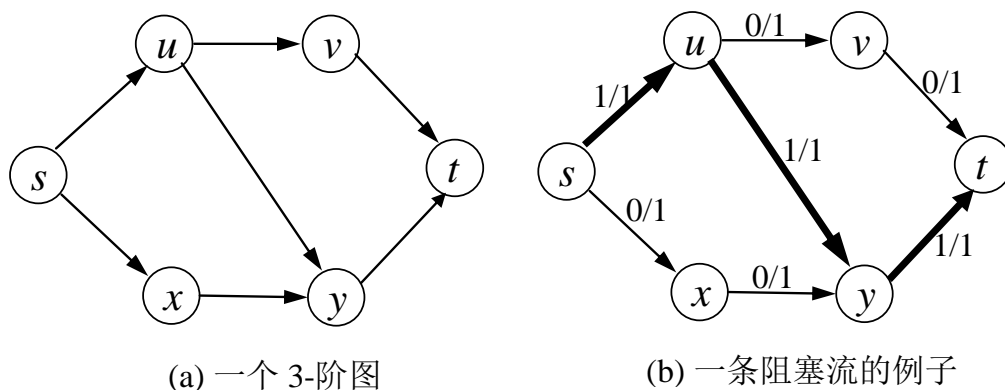


图 6  $k$ -阶图

Dinic 算法中用到的 MSN 数据结构(多阶网络)如下图 8 所示。MSN 可以在剩余网络  $G_f$  中用 BFS 算法构建，时间复杂度为  $O(|V|+|E|)$ 。要得到 Dinic 算法使用的 MSN 还需要一些简答的处理，如图 7 中，利用 BFS 得到的 MSN 可能含有边不能到汇点  $t$ ，所以在计算 MSN 的过程中需要将这种边除去。如图 8 中的边  $(v_3, x)$ 。

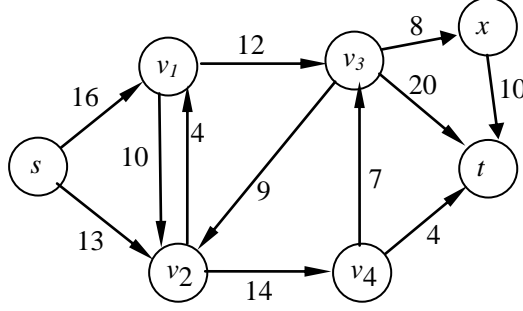


图 7 一个剩余网络  $G_f$

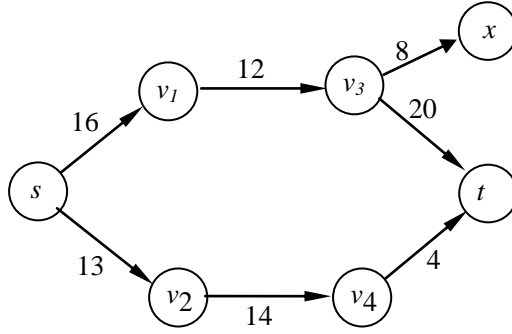


图 8 剩余网络图  $G_f$  的一个 MSN

引理 1: Dinic 算法中每次迭代后，MSN 的阶数至少增加 2。

假设流  $f^*$  是一个由  $G_f$  计算得到的  $MSN_f$  的阻塞流， $f' = f + f^*$ ，令  $MSN_{f'}$  和  $MSN_f$  为  $G_{f'}$  和  $G_f$  计算得到的 MSN。 $\delta_{f'}(s, t)$  和  $\delta_f(s, t)$  分别是在  $MSN_{f'}$  和  $MSN_f$  上从  $s$  到  $t$  的最短路径。我们仅仅需要证明  $\delta_{f'}(s, t) = \delta_f(s, t) + 2$ ，除非  $t$  不在 MSN 中。考虑任何一条从  $s$  到  $t$  的路径  $p$ ，明显有  $|p| = \delta_{f'}(s, t)$ 。如果我们假定路径  $p$  上所有的边都在  $MSN_{f'}$  上，那么流  $f^*$  将不是一条阻塞流，因为我们可以继续增大在  $MSN_f$  上的路径  $p$  的流  $f$  的容量，使得  $MSN_f$  上的路径  $p$  的边至少有一条边成为饱和边，那么该边将不会在  $MSN_{f'}$  上出现。所以这里必有一条边  $(u, v)$  将不会在  $MSN_{f'}$  上出现。令边  $(u, v)$  是在  $MSN_f$  上出现而不会在  $MSN_{f'}$  上出现的边。当边  $(u, v)$  再次出现的情况是因为边  $(v, u)$  成为增广路径  $p'$  上的一条饱和边。这意味着有  $\delta_f(s, v) = \delta_f(s, u) + 1$ ； $\delta_{f'}(s, u) = \delta_{f'}(s, v) + 1$ 。因为边  $(u, v)$  在路径  $p$  上，由第 2 节中的引理 1 可知， $\delta_f(s, u) \leq \delta_{f'}(s, u)$  和  $\delta_f(s, v) \leq \delta_{f'}(s, v)$  成立。所以我们得到

$$\begin{aligned}
 \delta_f(s, t) &= \delta_f(s, v) + \delta_f(v, t) \\
 &= \delta_f(s, u) + 1 + \delta_f(v, t) \\
 &= (\delta_{f'}(s, v) - 1) + 1 + (\delta_{f'}(u, t) - 1) \\
 &= \delta_{f'}(s, v) + \delta_{f'}(u, t) - 2 \\
 &\leq \delta_{f'}(s, v) + 1 + \delta_{f'}(u, t) - 2 \\
 &= \delta_{f'}(s, v) + \delta_{f'}(u, t) - 1 \\
 &= \delta_{f'}(s, v) + (\delta_{f'}(v, t) - 1) - 1
 \end{aligned}$$

$$=\delta_{f'}(s, t)-2$$

引理 2: Dinic 算法迭代的轮数至多为  $\lfloor \ln n/2 \rfloor$ , 即计算 MSN 的次数为  $O(V)$ 。

第一个 MSN 的计算式从流  $f$  初始化为 0 开始的 (见后面算法伪代码), 用 Dinic 算法又计算了 MSN  $k$  次。由引理 1 可知,  $1+2k \leq n-1$ , 因为任何路径的长度, 包括  $\delta_f(s, t)$  都小于或等于  $n-1$ , 所以  $k \leq \lfloor n/2 \rfloor - 1$ , 引理得证。

引理 3: Dinic 算法每次计算阻塞流的时间复杂度为  $O(VE)$ 。

阻塞流的寻找可以采用 DFS 算法。在 MSN 中从源点  $s$  出发寻找一条阻塞流  $f^*$ , 初始化  $f^*=0$ 。我们利用栈 Stack 来构建 DFS 算法寻找一条阻塞流, 压栈到最深的一个节点后, 然后当一个节点  $v$  从栈 Stack 中 Pop 出来后, 分两种情况讨论:

1)  $v=t$

因为存储在栈 Stack 中的顶点序列从栈底到栈顶为一条从  $s$  到  $t$  的路径, 也是 MSN 中从  $s$  到  $t$  的一条最短路径  $p$ 。令  $c_f(p)$  为路径  $p$  的容量。在剩余网路  $G_f$  中增加路径  $p$  上的流  $f^*$  的容量至  $c_f(p)$ , 然后计算新的  $MSN_{f'}$ 。对于在  $MSN_{f'}$  中的路径  $p$  的每条边  $(u, v)$ , 减去容量  $c_f(p)$ 。如果该边的容量减少至 0 后, 就将该边标记成饱和边。在  $MSN_{f'}$  中这条边就不存在了, 相反在  $G_{f'}$  中会有一条反向的边出现。

2)  $v \neq t$

这意味着顶点  $v$  不能到达汇点  $t$ , 也即是栈中的路径从  $s$  只能最终到达  $v$  不能到达  $t$ , 需要退栈。从新选择新的边压栈。

每次 DFS 的时间为  $O(n)$ , 因为在  $MSN_f$  中路径的长度最多为  $n-1$ , 每次压栈到顶点  $t$  后, 开始出栈, 修改边的容量, 若该边为饱和边则在  $MSN_f$  中去掉该边。然后, 继续退栈, 寻找新的边入栈新的顶点, 如此反复进行 DFS 搜索直到一条阻塞流  $f^*$  产生。实际情况中阻塞流  $f^*$  产生后,  $MSN_f$  中已经没有从源点  $s$  到达汇点  $t$  的边了。所以在  $MSN_f$  中利用 DFS 寻找一条阻塞流  $f^*$  的时间复杂度为  $O(VE)$ 。

引理 4: Dinic 算法的时间复杂度为  $O(V^2E)$ 。

由引理 2 和引理 3 可知 Dinic 算法的时间复杂度为  $O(V^2E)$ 。

Dinic 算法伪代码

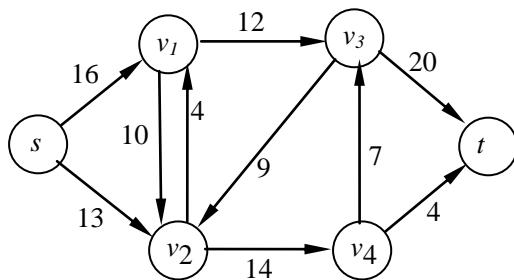
**Dinic** ( $G, s, t$ )

```

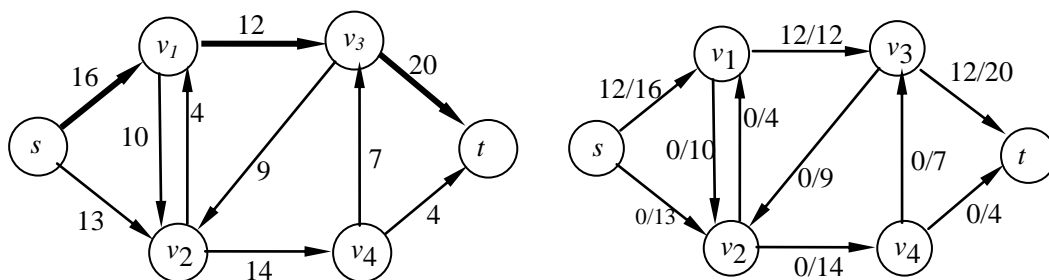
1  for each edge  $(u, v) \in E[G]$ 
2  {    $f[u, v] \leftarrow 0$ 
3      $f[v, u] \leftarrow 0$ 
4  }
5   $G_f \leftarrow G$ 
6  Compute the MSN for  $G_f$  starting from source  $s$ 
7  while sink  $t$  is in MSN
8  {   find a blocking flow  $f^*$  in MSN
9     for each edge  $(u, v)$  in  $G$ 
10    {    $f[u, v] \leftarrow f[u, v] + f^*[u, v]$    }
11    Compute  $G_{f'}$  for flow  $f$ 
12    Re-compute MSN for  $G_{f'}$ 
13  }
14  End
```

Dinic 算法的例子

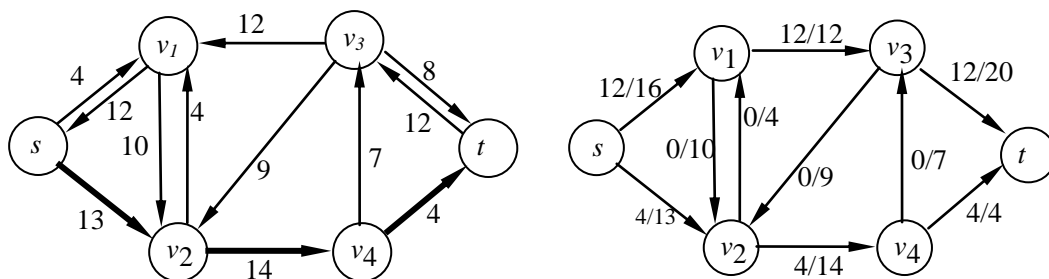
下面是 Edmonds-Karp 算法的一个例子



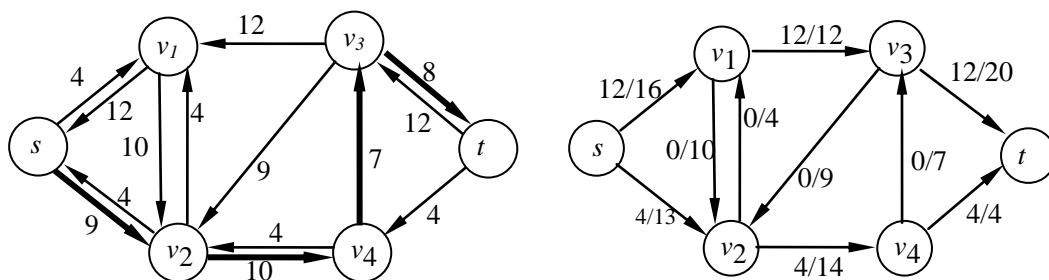
原网络



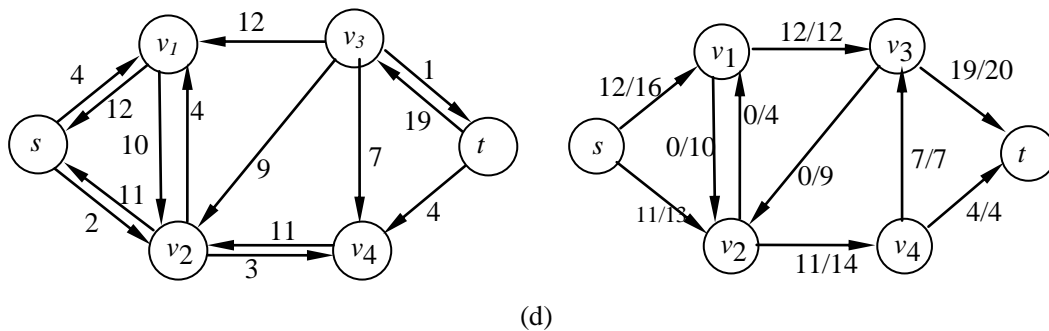
(a)



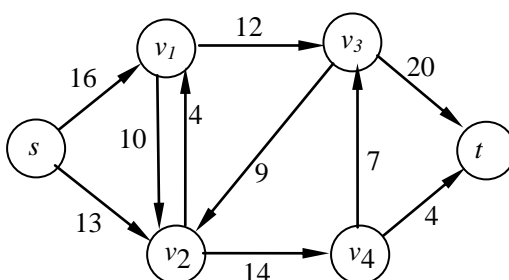
(b)



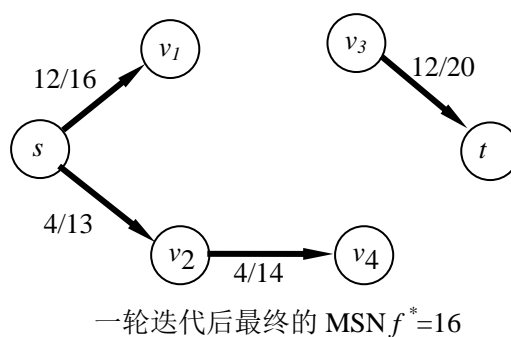
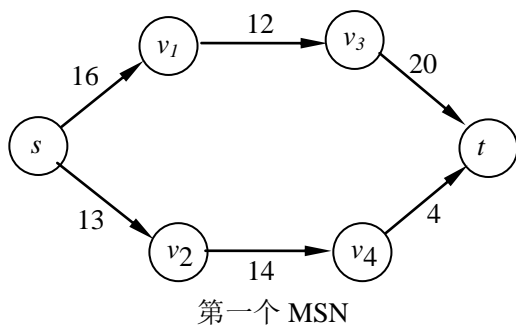
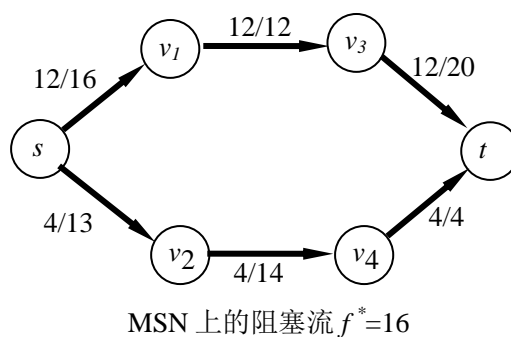
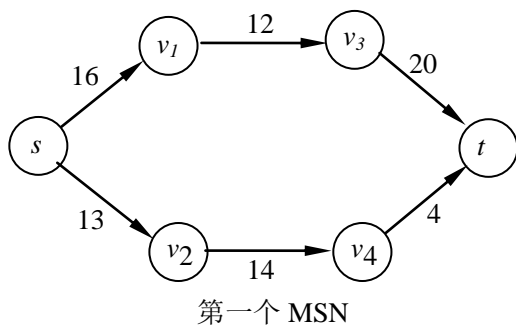
(c)



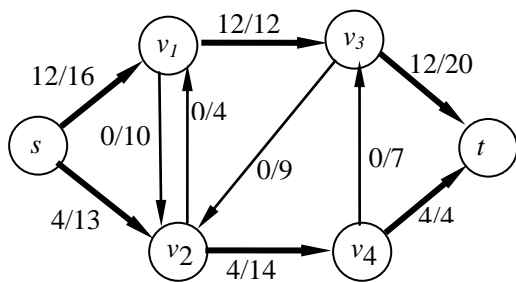
最后举一个 Dinic 算法的例子



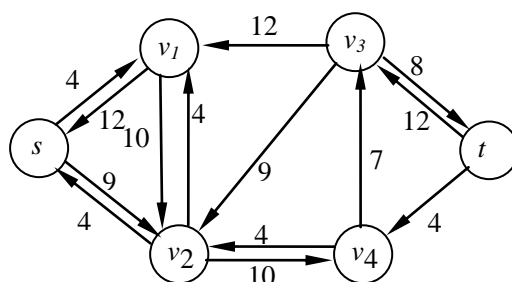
原网络  $G$ , 也是第一个剩余网络  $G_f$



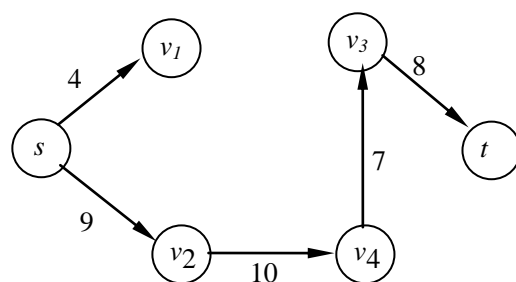




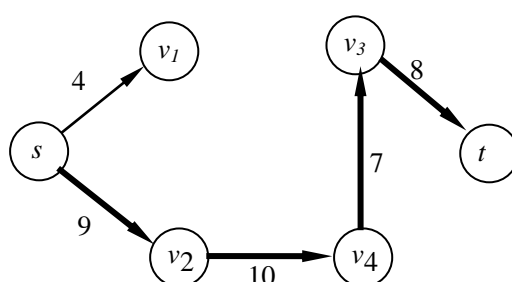
得到阻塞流  $f^*$  后最终的流  $f'=16$



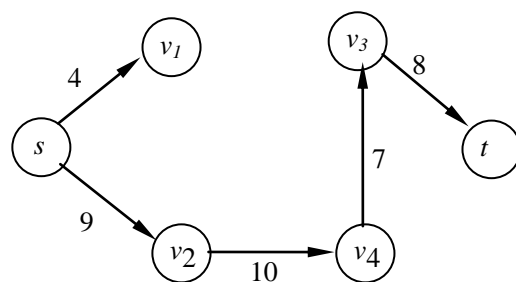
第二个剩余网络  $G_f$



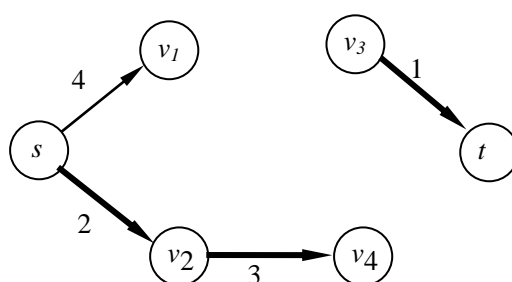
第二个 MSN



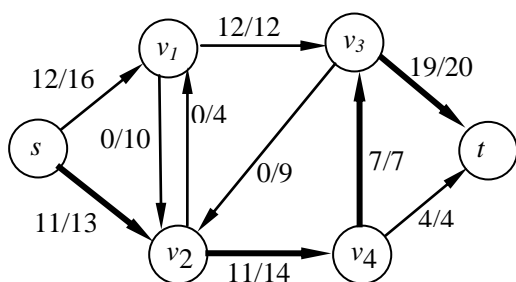
MSN 上的阻塞流  $f^*=7$



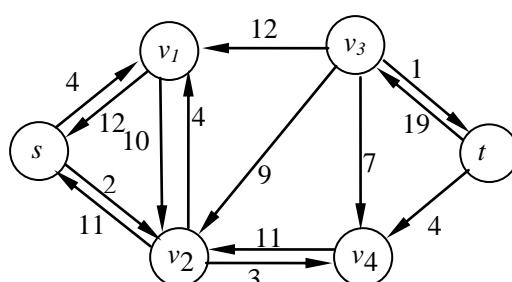
第二个 MSN



第二轮迭代后 MSN 上的阻塞流  $f^*=7$



得到阻塞流  $f^*$  后最终的流  $f'=23$



第二个剩余网络  $G_f$

从上面的例子可以看出，Dinic 算法迭代计算了 2 次，而 Karp 算法迭代计算了 3 次。